

住友金属工業㈱ 中央技術研究所 ○芝原 隆、河野輝雄

1. 緒 言

純鉛に硬鉛を埋め込んだモデルスキッドマーク材を用いてエッジング圧延（V圧延）および水平圧延（H圧延）を行ない、その板幅変動について検討した結果を報告する。

2. 実験方法

(1)試験片 Fig. 1 (2)ロール径 V- 80ϕ mm H- 120ϕ mm

(3)圧延条件 Table 1 热延粗ロール上流スタンド想定
Table I. Rolling condition (mm)

Rolling pass	V ₁	H _{D1}	H ₁	V ₂	H ₂
Width reduction	6			4.5	
Exit thickness		19.6	13.8		9.7

H_{D1}: 盛上り殺し圧延
H₁; H₂: H圧延

3. 実験結果

(1)比較的強圧下のV・H圧延を各2パス行なったが純鉛と硬鉛の溶接部は剥離しなかった。

(2)A, B材ともV圧延後の幅変動は小さいが、盛上り殺し圧延(H_{D1}圧延)後に幅変動が大きくなる。(Fig. 2)これはV圧延後の盛上りが非スキッド部(H部)よりもスキッド部(S1, S2部)²⁾で大きくなるためである。(Fig. 2, 3)

(3)スキッド形状からわかるようにA材に比較してB材の方がなだらかな幅変動を示しており(Fig. 2), 実機の幅変動パターンに近い。

(4)A材に比較してB材の方がH_{D1}圧延後平均幅が広くなっている。これはB材の方が長手方向に幅広いスキッド形状であるのでV₁圧延による伸びが小さくそのため盛上りが大きくなりH_{D1}圧延時に幅拡がりが増すからである。

4. スキッド部の板幅変動予測

幅変動はスキッド部と非スキッド部の盛上り幅拡がり量 $w_M = c_{ME} \cdot \Delta W$ (c_{ME} : 盛上り幅拡がり係数, ΔW : 幅殺し量) の差によるものであり、スキッド部の盛上り幅拡がり係数は非スキッド部のそれより γ だけ大きいとしてこの γ を求めれば幅変動を予測できる。Fig. 4に示すようにH_{D1}圧延後の実測幅変動量から γ を計算し、H₂圧延後の幅変動量を予測したところ実測幅変動量とほぼ一致した。

5. 結 言

純鉛に硬鉛を埋め込んだモデル材で熱延でのスキッドマークによる板幅変動をシミュレートできることがわかった。

参考文献 1)河野他: 第103回鉄鋼協会講演会(1982)

2)芝原他: 第29回塑加連講(1978)No.149, P145

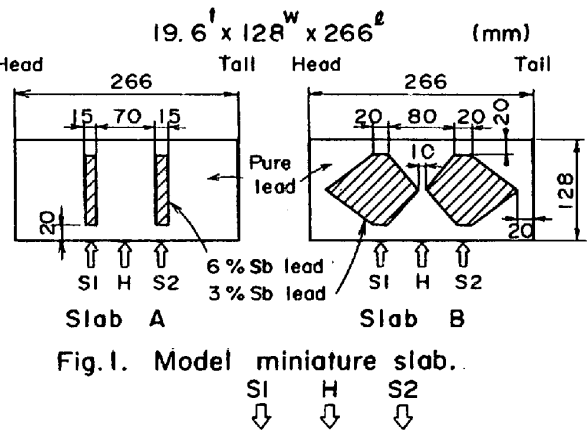


Fig. 1. Model miniature slab.

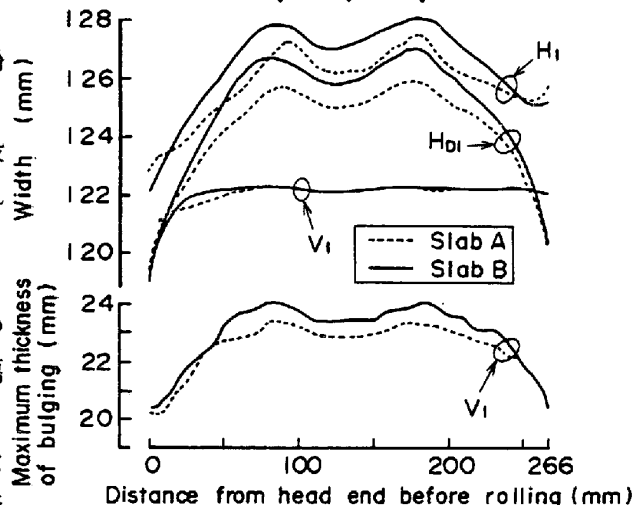


Fig. 2. Width variation and maximum thickness distribution of bulging.

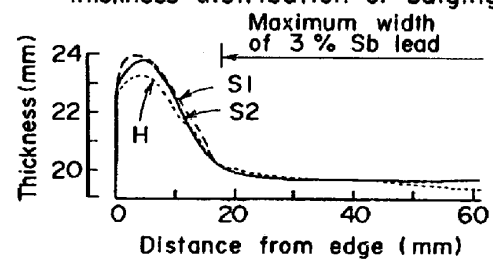


Fig. 3. Cross-profile of bulging after V1 (Slab B).

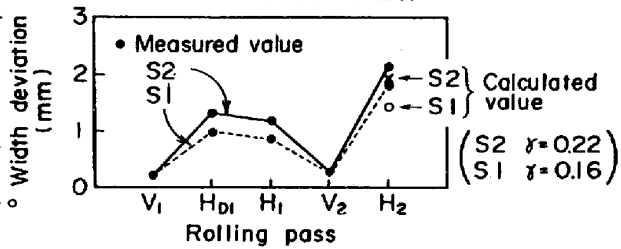


Fig. 4. Width deviation at each pass (Slab B).